

بررسی رفتار خستگی سازه‌های ساندویچی با پوسته‌های هیبریدی نامتقاض و هسته فومی تحت بارگذاری کشش-کشش

محمود ذیحیور (دانشجوی دکتری)

سعید ادیب نظری (دانشیار)

دانشکده‌ی فنی‌و‌رشیدی

واعین مسلمیان (دانشجوی کلوشند دانشکده‌ی هندسی، دانشگاه کاشان

در این نوشتار پاسخ خستگی یک لایه‌چینی ساندویچی با هسته‌ی فومی و صفحات هیریدی نامتناهن مورد تحقیق قرار گرفته است. لایه‌چینی ساندویچی هوره نظر پژوهشی از المان بحرانی یک سازه‌ی هرک واقعی است. روش تهیه و ساخت مواد و لایه‌چینی‌ها مشابه المان بحرانی است. دو نوع الیاف شیشه‌ی بافته شده مشابه (G1, G2) و یک نوع الیاف کربن تکجهجه (C) با سیستم رزین پلیکسی در صفحات بالا و پایین هسته‌ی فومی به کار گرفته شده است. ترتیب لایه‌چینی و زوایای هر کدام از لایه‌ها عبارت است از:

وازگان کلیدی: لایه‌چینی ساندویچی، رفتار خستگی، پوسته های هیبریدی،
مدل سازی اجزاء محدود.

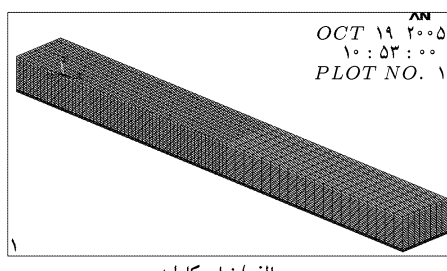
مقدمة

و نتایج عددی خواص خستگی آنها مسیار معنود است. ساختارهای ساندویچی دو صفحه‌ی نازک متصل در دو طرف یک هسته‌ی ضخیم‌تر و سبک‌تر را شامل می‌شوند. صفحات بیرونی عموماً از نوع لایه‌چینی‌های مواد مرکب و از جنس الیاف کربن، شیشه یا کولر است و هسته‌ی آن ممکن است از نوع لامینوری، فوم‌های مخلخل یا چوب بالسا تهیه شود. صفحات بیرونی بیشترین بار صفحه‌ی و خمشی را تحمل می‌کنند در حالی که هسته تولید کننده سفتی خمشی، استحکام برشی خارج از صفحه و استحکام فشاری بالا است.¹¹ در ساختارهای ساندویچی با هسته‌ی خارج از صفحه و استحکام فشاری بالا است. در ساختارهای ساندویچی با هسته‌ی خارج از صفحه و استحکام فشاری بالا است. در ساختارهای ساندویچی با هسته‌ی خارج از صفحه و استحکام فشاری بالا است. در ساختارهای ساندویچی با هسته‌ی خارج از صفحه و استحکام فشاری بالا است. در ساختارهای ساندویچی با هسته‌ی خارج از صفحه و استحکام فشاری بالا است.

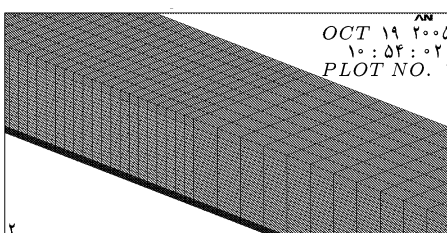
لایه‌چینی ساندویچی بحرانی در سازه‌ی واقعی ساخته شده از مواد مرکب بررسی شده است. این لایه چینی از نوع ساختار نامقابن با هسته‌ی فومی و صفحات هیریدی است.

روش انجام تحقیق

ابتدا المان بحرانی در سازه‌ی واقعی براساس انواع بارگذاری‌های آتودینامیکی از طریق تحلیل اجزاء محدود تعیین می‌شود. المان مذکور دارای هسته‌ی فومی از نوع (PVC) و صفحات نامقابن و هیریدی بوده، همچنین کل لایه‌چینی نیز نامقابن است. از آنجاکه دستورالعمل استانداردی در مورد طرح ناحیه‌ی درگیر در گیره برای نمونه‌های آزمایش تحت بارکشش استاتیکی و نوسانی ارائه نشده است دو طرح نمونه که در شکل‌های ۱ و ۲ نشان داده شده است مورد بررسی قرار می‌گیرد. به این

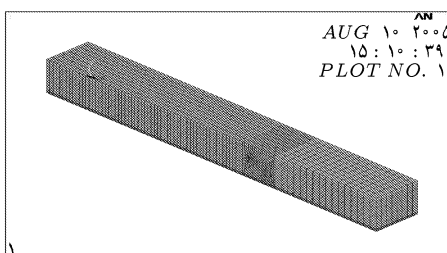


الف) نمای کامل؛

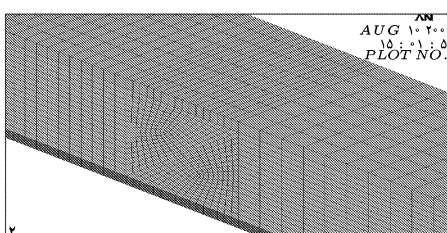


ب) نمای متمرکز از طرح ساده.

شکل ۱. مدل اجزاء محدود المان بحرانی طرح ساده.



الف) نمای کامل؛



ب) نمای متمرکز از طرح زاویدار.

شکل ۲. مدل اجزاء محدود المان بحرانی طرح زاویدار.

بارگذاری استاتیکی و نوسانی سریعتر از سایر بخش‌ها دچار واماندگی می‌شود. خواص مکانیکی فوم‌های پلی‌مری با در نظر گرفتن توصیفات ساختار تخلخلی آنها توسط محققان زیادی مشخصه‌سازی شده است. بخشی از این تحقیقات بهوسیله‌ی گیسیون و اشبی جمع‌آوری شده است.^[۱] زنکرت و بکلاند برای بررسی صلبی فوم‌های PVC آزمایشات استاتیکی را برنامه‌ریزی و اجرا کردند.^[۲-۳] نتایج کار آنها نشان داد که مکانیک شکست کشسانی خطی برای تعیین خواص شکست این فوم‌ها قابل اعمال است. گیسیون و اشبی مکانیک سه‌بعدی مواد متخلخل را نیز تشریف کردند.^[۴] و در ادامه، گیسیون رفتار مکانیکی این مواد را مدل‌سازی کرد.^[۵] در نتیجه‌ی این پژوهش‌ها مشخص شد واماندگی زمانی رخ می‌دهد که آسیب به یک سطح بحرانی برسد. این سطح بحرانی خود به بیشینه‌ی تش اعمالی در بارگذاری نوسانی وابسته است.

گرنشت و شد ترک را در فوم‌های PVC بررسی کرد.^[۶] محققین در زینه‌ی رفتار خستگی هسته‌های فومی پژوهش‌های متعددی انجام داده‌اند. از جمله کامل‌ترین این تحقیقات می‌توان به «بررسی مشخصات خستگی هسته‌ی فومی متخلخل و لانه زنیوری» توسط بورمن و زنکرت اشاره کرد.^[۷] بوثن و همکاران نیز رفتار و خواص خستگی فوم‌های PVC را بررسی کردند.^[۸] شیشا و همکاران مود انتشار ترک خستگی در فوم‌های PVC را مورد مطالعه قرار دادند.^[۹]

با کمک روش اجزاء محدود ضربی شدت تنش K در نوک ترک محاسبه، و در آن فرض اعتبار مکانیک شکست کشسانی خطی لحاظ شد. رشد ترک‌های خستگی در فوم‌های پلی‌اورتان نیز توسط لیلی و نوبل تعیین شده است.^[۱۰] به طور مشابه، یاتو و مایر در خصوص انتشار ترک در فوم‌های پلی‌کربنات تحت بارگذاری خستگی تحقیق کردند.^[۱۱]

زنکرت بررسی جامعی بر روی استحکام تیرهای ساندویچی که در صفحه‌ی مرکزی آنها جدایش لایه‌ی اتفاق افتاده است انجام داد.^[۱۲] تش‌ها و الگوهای واماندگی در خمین تیرهای ساندویچی با هسته‌های متداول، توسط شهار و همکاران تعیین شد.^[۱۳] تعدادی از سازه‌کارهای واماندگی مواد مرکب ساندویچی تحت بار دینامیکی توسط تریانسیفیلو ارائه شده است.^[۱۴]

هللاند و همکاران درخصوص رفتار خستگی ساختارهای ساندویچی تحقیق کرده‌اند.^[۱۵] آن و شنوار نیز آزمایشات خستگی و خستگی خمشی محدودی را بر روی تیرهای ساندویچی با صفحات مرکب پلیمری انجام داده‌اند.^[۱۶-۱۸] کنی و محفوظ اثرات فرکانس بر روی رفتار خستگی ساختارهای مرکب ساندویچی با الیاف شیشه (S2) و ماتریس وینیل استر را مورد بررسی قرار دادند که در آنها دو نمونه مختلف با هسته‌های مقاولت فوم PVC مقایسه شده‌اند.^[۱۹] نتیجه‌ی این تحقیق نشان داد نخ رشد ترک با افزایش فرکانس بارگذاری کاهش می‌یابد. لستاری و کیاتو نیز شوه‌هایی را برای آشکارسازی آسیب در لایه‌چینی‌های ساندویچی ارائه کردند.^[۲۰] که در آنها هسته‌هایی از نوع لانه زنیوری به کار رفته است.

چنان‌که مرور تاریخچه نشان می‌دهد رفتار خستگی لایه‌چینی‌های ساندویچی با هسته‌ی فوم پلی‌مری کمتر مورد بررسی و تحلیل قرار گرفته است. عدم وجود اطلاعات و نتایج تجربی کافی از رفتار خستگی سازه‌های واقعی که به صورت لایه‌چینی‌های ساندویچی ساخته می‌شوند اهمیت مسئله را بیش از پیش روشن می‌سازد. ساختارهایی نامقابن با هسته‌ی فومی (مانند PVC) و صفحات از نوع لایه‌چینی‌های هیریدی از جمله ترکیباتی هستند که معمولاً در سازه‌های اصلی هوایماهای سبک تهیه شده از مواد مرکب مورد استفاده قرار می‌گیرند. در چنین حالاتی پیچیدگی رفتار مکانیکی ناشی از عدم مقابن صفحات به پیچیدگی ناشی از کاربرد الیاف مختلف (هیرید) اضافه می‌شود. در این نوشتار خواص خستگی یک

دو طرح را نشان می‌دهند. خواص فیزیکی و مکانیکی لایه‌های به کار رفته مطابق جدول ۱ است.

لازم به ذکر است که خواص ارائه شده از طریق انجام آزمایشات مشخصه‌سازی توسط نگارنده به دست آمده، و از شرح آنها در این مبحث اجتناب می‌شود. ترتیب لایه‌چینی در مدل (ویا المان بجزئی) در جدول ۲ ارائه شده است. طرح‌های تأثیرگذار در گیره طوری درنظر گرفته شده است که بتواند فشار گیره را تحمل و منتقل کند. به این منظور از لایه‌های با الیاف بافته شده شیشه (G2) و به تعدادی که با ضخامت هستی فومی برای باشد استفاده شده است. با توجه به جدول ۱ این تعداد ۳۲ لایه است. لایه‌ها در تأثیرگذاری «رویه‌های بالا و پایین» سرتاسری قرار داده شده و در قسمت «سنجه» به وسیله‌ی محدوده‌ی هسته فومی تعیین می‌شود. بنابراین، مطابق آنچه در جدول ۲ ارائه شد ترتیب لایه‌چینی در تأثیرگذاری سنتیه عبارت است از: رویه‌ی A، فوم ۱۰ میلی‌متری، و در نهایت رویه‌ی B. لایه‌های داخل رویه‌های A و B به طور کامل در جدول ۲ تشریح شده است. همچنین در تأثیرگذاری در گیره ترتیب لایه‌چینی به این صورت است: رویه‌ی A ۳۲ لایه از نوع الیاف G2، و در پایان رویه‌ی B. از آنجا ترتیب لایه‌چینی در کل قطعه از جمله تأثیرگذاری اتصال مشخص شده است.

جدول ۱. خواص فیزیکی و مکانیکی لایه‌ها.

PVC Foam	U.D Carbon	Woven Glass	Woven Glass	جنس لایه
HTV۱۰	C	G۲	G۱	نمایه
۱۰	۰,۲۴۷	۰,۳۱۲۵	۰,۱۴۹	ضخامت (mm)
۱۱۰	۱۴۷۰	۱۶۰۴	۱۶۰۴	دانسیته (Kg/m³)
-	۰,۵	۰,۴۵	۰,۴۵	کسر حجمی الیاف
-	Epoxy	Epoxy	Epoxy	نوع رزین
۱۰۵	۱۱۵۰۰۰	۱۶۲۸۰	۱۶۲۸۰	Exx (MPa)
۱۰۵	۶۸۱۹	۱۶۲۸۰	۱۶۲۸۰	Eyy (MPa)
۵۰	۲۹۵۲	۳۷۲۸	۳۷۲۸	Gxy (MPa)
۰,۰۵۴	۰,۲۹۶	۰,۰۴۷	۰,۰۴۷	Nuxy

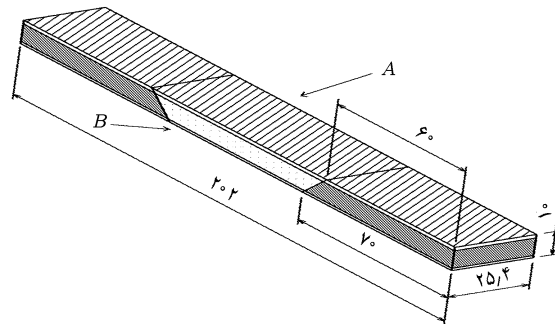
جدول ۲. ترتیب لایه‌چینی.

جنس لایه	صفحة	زُویه نسبت به امتداد طولی (x)	شماره‌ی لایه
G1	A	۰,۹۰	۱
C	A	۰	۲
C	A	۰	۳
G2	A	±۴۵	۴
Foam	-	-	۵
G2	B	±۴۵	۶
C	B	۰	۷
C	B	۰	۸
C	B	۰	۹
G1	B	۰,۹۰	۱۰

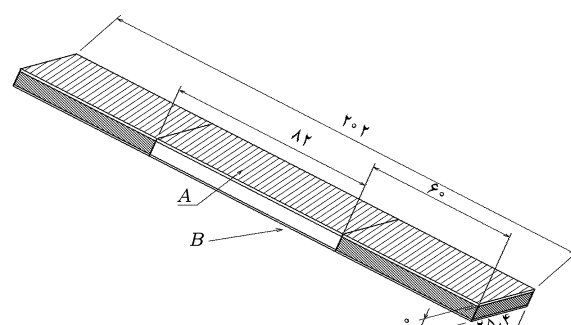
منظور ابتدا از هر دو طرح مدل‌های اجزاء محدود تهیه شده و درخصوص مؤلفه‌های تش در نقاط مختلف بحث می‌شود و طرح مناسب‌تر برای تهیه و اجرای آزمایشات استحکام استاتیکی و خستگی به دست می‌آید. از نتایج آزمایش استاتیکی برای مقایسه‌ی نتایج استفاده می‌شود. در انتهای نتایج آزمایشات خستگی تشریح می‌شوند. وجود چنین ترتیبی برای لایه‌چینی (نامتناهن و هیبریدی) در اثر اعمال بار ساده کشش‌کشش نوسانی انواع مؤلفه‌های تش را در لایه‌های قطعه ایجاد خواهد کرد که در رفتار خستگی لایه‌چینی نقش تعیین‌کننده‌ی ایفا می‌کند. تحلیل مدل‌های (FEM) که در بخش بعدی ارائه شده‌اند نشان‌گر وجود چنین مؤلفه‌هایی است.

مدل‌سازی اجزاء محدود

برای مقایسه‌ی اثر طرح‌های مختلف اتصال تأثیرگذاری در گیره با هسته فومی و نیز اثر مؤلفه‌های تش ایجاد شده بر وضعیت شکست المان بجزئی، مدل‌سازی اجزاء محدود صورت گرفته است. شبیه‌سازی به کمک کد تجاری اجزاء محدود (ANSYS) و با استفاده از المان لایه‌ی (Solid ۱۶۱) انجام گرفته است. شکل‌های ۱ و ۲ این مدل‌ها را به صورت نیمه مقابله‌ی طولی برای هر دو طرح نشان می‌دهند. با اعمال شرایط مرزی مناسب از اجرای آزمایش و وارد کردن بار (با درنظر گرفتن مقابله و بارگذاری) توزیع تش داخل اجزای مدل‌ها معین می‌شود. برای اعمال شرایط مرزی ناشی از فک‌های دستگاه آزمایش، جایه‌جایی گره‌های صفحاتی که فک‌های دستگاه آنها را نگه می‌دارد در جهت ضخامت صفر در نظر گرفته شده است. بارگذاری مدل به این صورت است که بارگذاری در سه مرحله، و در سه نسبت مساوی از بارکل ۶۱,۵۴ کیلونوتون به مدل اعمال می‌شود. این مقدار بار، معادل بار نهایی به دست آمده از آزمایش استاتیک لایه‌چینی طرح زویه‌دار است. شکل‌های ۳ و ۴ هندسه‌ی



شکل ۳. مدل طرح زویه‌دار (ابعاد به میلی‌متر).



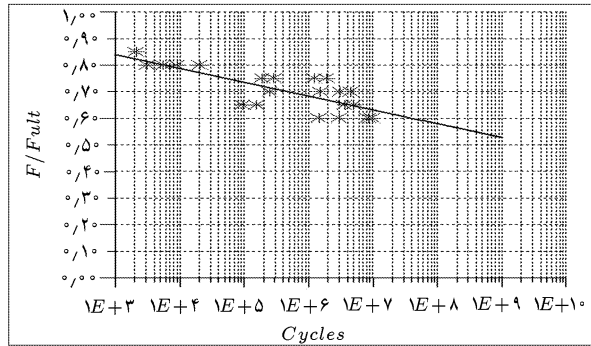
شکل ۴. مدل طرح ساده (ابعاد به میلی‌متر).

روش تجربی

برای تعیین رفتار واقعی لایه‌چینی تحت بارگذاری استاتیک و خستگی، آزمایشات مربوطه برنامه‌ریزی و انجام شده که بررسی وضعیت ایجاد و رشد آسیب در قطعات را ممکن می‌سازد.

آماده‌سازی قطعات آزمایش

بر مبنای هندسه‌ی شرح داده شده در بخش‌های قبلی، نمونه‌های آزمایش مورد نظر با استفاده از روش لایه‌گذاری دستی ساخته شده‌اند. کلیه‌ی مراحل ساخت، پخت و ترتیب لایه‌گذاری دقیقاً مطابق نمونه‌ی سازه واقعی است. اجرای آزمایش کشش استاتیک و خستگی براساس استانداردهای ASTM D3039-3039M و ASTMD3479-3479M برنامه‌ریزی شده‌اند، ابعاد قطعات عبارت است از: $20\text{ mm} \times 25\text{ mm}$ در حداقل پنج قطعه آزمایش برای حالت استاتیک لازم است. در آزمایش خستگی، سه به سطح و نوع استفاده از نتایج، تعداد قطعات تحت آزمایش متغیر است که شرایط آنها در استاندارد خستگی اولیه شده است. شکل‌های ۵ و ۶ قطعات را پس از ساخت، اجرای مراحل برش و اندازه، کردن نمایش می‌دهند. در این شکل‌ها هر دو طرح اتصال فوم نشان داده شده است.

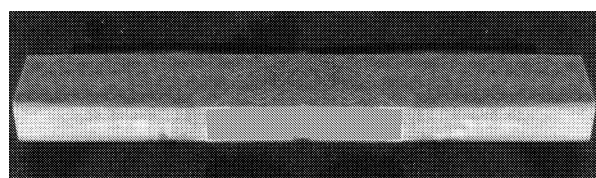


شکل ۷. نمودار S-N.

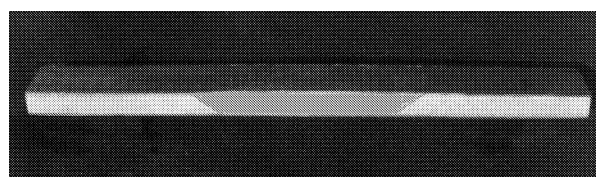
آزمایشات استاتیک و خستگی

آزمایشات استاتیک برای تعیین استحکام نهایی ساختارهای ساندویچی برنامه‌ریزی شدند. کلیه‌ی شرایط آزمایش اعم از ابعاد قطعه، پارامترهای بارگذاری (نرخ بارگذاری، سرعت حرکت نقاط اعمال نیرو و...)، رعایت تراز راستای محورهای اعمال نیرو، کالیبراسیون دستگاه و دریافت و ثبت آنی اطلاعات حاصل در رایانه از دستگاه مطابق روش‌های استاندارد ذکر شده در بخش قبلی لحاظ شده است. نتایج عددی و مقادیر پارامترهای آماری آزمایش در جدول ۳ ارائه شده است.

برای توسعه‌ی نمودار S-N، به کمک نتایج مربوط به بارنهایی حاصل از آزمایشات استاتیک، نسبت‌های مناسب اعمال بار در نظر گرفته شدند. با انتخاب شکل موج بارگذاری از نوع سینوسی با دامنه‌ی ثابت و نسبت بار موجی $R = 0.1$ پارامترهای خستگی تعیین شد. در جدول ۴ نسبت بارهای انتخاب شده ارائه شده‌اند و نیز نمودار S-N به دست آمده در شکل ۷ نشان داده شده است.



شکل ۵. قطعه‌ی آزمایش با اتصال ساده.



شکل ۶. قطعه‌ی آزمایش با اتصال زویه‌دار.

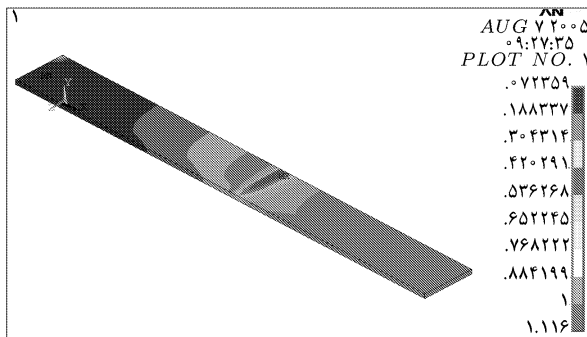
جدول ۳. نتایج عددی و مقادیر پارامترهای آماری آزمایش استاتیک.

(MPa)	استحکام	ردیف
۵۵,۰۲	۱	
۶۲,۳۱	۲	
۶۴,۸۳	۳	
۶۴	۴	
۶۱,۵	۵	
۶۱,۵۴	متسط	
۴,۴۷	انحراف معیار	

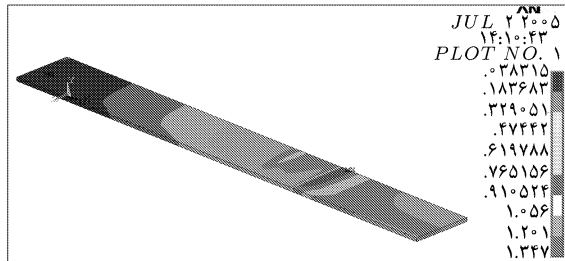
جدول ۴. نسبت بارهای انتخاب شده در آزمایش خستگی.

نسبت بار	ردیف
۰,۶	۱
۰,۶۵	۲
۰,۷	۳
۰,۷۵	۴
۰,۸	۵
۰,۸۵	۶

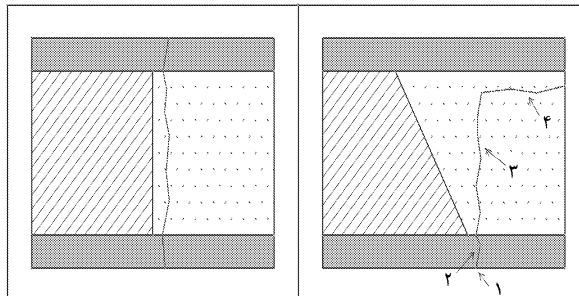
در انجام آزمایشات مکانیکی از دستگاه کشش-فشار اینسٹریون ۲۰۰KN استفاده شده است. حداقل قدرت این دستگاه در اعمال بار دینامیکی معادل 200 KN و در حالت استاتیک 250 KN است. گیره‌های دستگاه ما سیستم هیدرولیک فعال می‌شوند و در نتیجه فشار اعمالی قابل تنظیم است. بدلیل محدودیت در سیستم تغذیه‌ی نیرو و پاسخ سفتی قطعه‌ی تحت آزمایش، حداقل فرکанс قابل اعمال با افزایش مقدار بارگذاری از بارهای آزمایش می‌باشد. قابلیت توقف خودکار آزمایش متناظر با تعریف معیاری مناسب ثبت تعداد چرخه‌های طی شده و همچنین حداقل بار واقعی در موج بارگذاری لحظه‌ی شکست در دستگاه وجود دارد. با این سیستم می‌توان انواع شکل موج‌های متعارف در آزمایش خستگی را انتخاب کرد. کنترل مراحل و پارامترهای آزمایش از دو طریق پینل و رایانه (توسط نرم‌افزار ویره) امکان‌پذیر است. برای دست‌یابی به موازنی در مقادیر بالای بار، کاهش زمان، هزینه‌ی انجام آزمایشات، جلوگیری از افزایش دما در قطعه و نتایج سایر تحقیقات فرکانس اعمال بار بر روی مقدار $5/8$ هرتز تنظیم شد. این فرکانس نسبت به مقدار متعارف 10 هرتز، مدت زمان طولانی‌تر و هزینه‌ی



شکل ۱۲. مقادیر ۱۲. Tsai-Wu برای اولین لایه‌ی شکسته شده از طرح ساده در مرحله‌ی بارگذاری دوم.



شکل ۱۳. مقادیر Tsai-Wu برای اولین لایه‌ی شکسته شده از طرح زویدار در مرحله‌ی بارگذاری سوم.



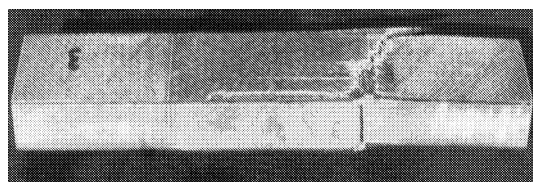
شکل ۱۴. شماتیک وضعیت آسیب‌های خستگی.

شکل‌های ۱۰ و ۱۱ نیز منجر به جایه‌جایی نقاط بحرانی به طرف داخل سنجه می‌شود که باعث بهبود قابل ملاحظه‌ی در انتقال نیرو برای حالت (ب) به ناحیه‌ی سنجه می‌شود. به عبارت دیگر، در این شکل‌ها موقعیت کانتورهای مقادیر بیشینه‌ی معیار Tsai-Wu به طرف داخل سنجه جایه‌جا شده است و لذا نشان می‌دهد که این نقاط داخل سنجه زدتر به حد واماندگی می‌رسند. این همان نتیجه‌یی است که برای تعیین استحکام واقعی یک قطعه یا ماده لازم است: یعنی وقوع واماندگی در ناحیه‌ی سنجه قطعه آزمایش. شکل ۱۱ نشان می‌دهد که کانتور بحرانی طرح ساده (شکل ۱۰) حفظ شده اما ناحیه‌ی بحرانی واقعی با شکلی مشابه در ناحیه‌ی سنجه ایجاد شده است که وضعیت مطلوب یک طراحی آزمایش است. بنابراین آزمایش به طور مطلوب‌تری طراحی شده واستحکام به دست آمده بالاتر واقعی تر خواهد بود. شکل‌های ۱۲ و ۱۳ اولین لایه از لایه‌جنبی را که به حالت واماندگی می‌رسند (FPF) نشان می‌دهند. این لایه، اولین لایه‌ی کربنی مجاور لایه‌ی شیشه متصل به قرم در رویه (B) برای هر دو طرح است، و با مرتفع‌تر با واماندگی اولین لایه در طرح «ب» بزرگ‌تر از بار مربوطه در طرح «الف» است. در آزمایشات خستگی،

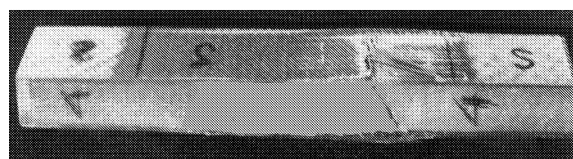
بیشتری برای آزمایشات در برداره، در مقابل دمای قطعه در اثر بار نوسانی افزایش قابل ملاحظه‌ی نخواهد داشت.

نتایج و بحث

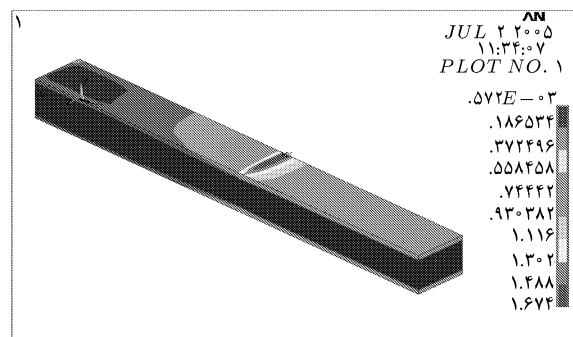
بررسی وضعیت آسیب در قطعات تحت آزمایش استاتیک نشان می‌دهد که در قطعات با طرح ساده‌ی «الف» جدایش قرم از ناحیه‌ی درگیر در بخش گیره افق افتاده است. در حالی که در طرح زویدار «ب» قطعه از ناحیه‌ی داخلی قر در سنجه در صفحه با تعداد لایه بیشتر دچار واماندگی شده است که به آزمایش ایده‌آل نزدیک‌تر است (شکل‌های ۸ و ۹). چنین نتیجه‌یی از نتایج تحلیل اجزاء محدود نیز به دست می‌آید (شکل‌های ۱۰ و ۱۱). مقایسه‌ی کانتورهای Tsai-Wu در



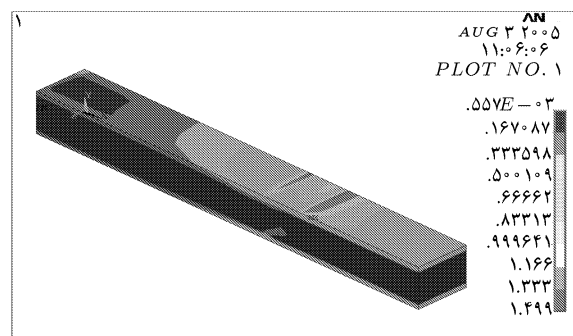
شکل ۸. شکست استاتیک (طرح ساده).



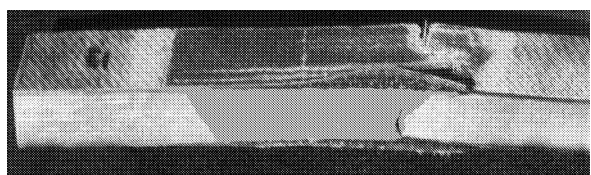
شکل ۹. شکست استاتیک (طرح زویده).



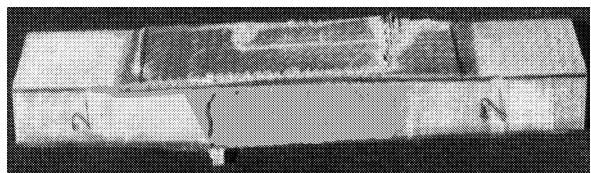
شکل ۱۰. مقادیر معیار شکست Tsai-Wu برای قطعه با طرح اتصال ساده.



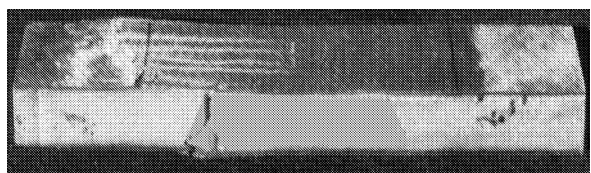
شکل ۱۱. مقادیر معیار شکست Tsai-Wu برای قطعه با طرح اتصال زویدار.



شکل ۱۵. وضعیت آسیب‌های خستگی (۱).



شکل ۱۶. وضعیت آسیب‌های خستگی (۲).



شکل ۱۷. وضعیت آسیب‌های خستگی (۳).

کرد؛ ناحیه‌ی ۱، مربوط به پارگی و نواری شدن طول قطعه در ناحیه‌ی سنجه و لایه‌ها؛ ناحیه‌ی ۲، آسیب لایه‌ها در ناحیه‌ی انتهای اتصال فوم به ناحیه‌ی درگیر در گیر؛ ناحیه‌ی ۳ شکست عمودی فوم زیر ناحیه‌ی ۱؛ ناحیه‌ی ۴ رشد ترک طولی در فوم پس از رسیدن شکست عمودی فوم به صفحه A، اصولاً رشد ترک خستگی در داخل ناحیه‌ی فوم که فضای هموزن و اینترورب فرض می‌شود باعث کاهش پراکندگی نتایج آزمایش‌ها می‌شود که این خود یک مزیت برای سازه‌های ساندویچی با هسته‌ی فومی محسوب می‌شود. نکته‌ی دیگر آن که با افزایش نسبت بار طول ترک طولی در فوم و همچنین طول و تعداد ترک‌های ناحیه‌ی ۱ به شدت کاهش می‌یابد. بنابراین در نسبت بارهای بالا آسیب‌های ناحیه‌ی ۲ و ۳ آسیب‌های غالباً ندارند.

نتیجه‌گیری

نتایج حاصل، براساس آزمایشات و نیز تحلیل‌های اجزاء محدوده نشان می‌دهد که استفاده از طرح زویه‌دار باعث انتقال ناحیه‌ی شکست از محدوده اتصال سنجه به گیره در قطعه به محدوده درونی تر سنجه می‌شود و از این رو استحکام حاصله در مقایسه با طرح ساده به مقادیر واقعی نزدیک‌تر است. از طرف دیگر، طبقه کامل روش اجزاء محدود و آزمایشات تأیید می‌شود. بررسی آزمایشات خستگی در نسبت بارهای بالا نیز نتایج مشابهی را ارائه می‌دهد. از نتایج آزمایشات خستگی چهار وضعیت آسیب مشاهده شده: ۱. پارگی و نواری شدن طول قطعه در ناحیه‌ی سنجه و لایه‌ها؛ ۲. آسیب دیدگی لایه‌ها در ناحیه‌ی انتهای اتصال فوم به ناحیه‌ی درگیر در گیر؛ ۳. شکست عمودی فوم زیر ناحیه‌ی قسمت ۱؛ ۴. رشد ترک طولی در فوم پس از رسیدن شکست عمودی فوم به صفحه‌ی متسلک از لایه‌های کمتر از چهار وضعیت آسیب تشخیص داده شده رشد دونوع ترک قائم و موازی امتداد بارگذاری در فوم اتفاق می‌افتد که با افزایش نسبت بار طول ترک موازی امتداد بارگذاری که به دنبال ترک قائم ایجاد می‌شود، کاهش می‌یابد.

منابع

1. Kanny, K and Mahfuz, H. "Flexural fatigue characteristics of sandwich structures at different loading frequencies", *Composite Structures*, **67**(4), pp. 403-410 (2005).
2. Gibson, L.H. and Ashby, M.F. "Cellular solid-structure and properties", 2nd edn, Cambridge University press, Cambridge (1997).
3. Zenkert, D. and Backland, J. "PVC sandwich core Materials-Mode I fracture Toughness", *Composite Science and Technology*, **34**, pp. 235-242 (1989).
4. Zenkert, D. "PVC Sandwich Core Materials: Fracture under Mode II Loading and Mixed Mode Conditions", *Materials Science and Engineering*, **A108**, pp. 233-240 (1989).
5. Zenkert, D, Schubert and Burman, M. "Fracture Initiation in Foam Core Sandwich Structures due to Singular Stresses at Corners", *Mechanics of Composite Materials and Structures*, **4**(1), pp. 1-22 (1997).
6. Gibson, L. J and Ashby, M.F. "The Mechanics of Three-Dimensional Cellular Solids", *Proc.R.Soc.Lond*, **382**(43), (1982).
7. Gibson, L.G. "Modeling Mechanical Behavior of Cellular Materials", *Materials science and Engineering*, Allo, pp. 1-36 (1989).
8. Grenestedt, J. L., Hallstrm, S and Kuttenkeuler, J. "On Cracks Emanating from Wedges in Expanded PVC Foams", *Engineering Fracture Mechanics*, **54**(4), pp. 445-456 (1996).
9. Burman, M and Zenkert, D. "Fatigue crack Initiation and propagation in sandwich Structures", Doctoral Thesis, Royal Institute of Technology, Department of Aeronautics (1988).
10. Buene, L. Echtermeyer, A.T. and Sund, O. E. "Fatigue Properties of PVC Foam Core Materials", Det Norske Veritas Report 91-2049, (1991).
11. Shipsha, A, Burman, M and Zenkert, D. "On Mode-I Fatigue crack growth in foam cores for sandwich structures and Matereials", Doctoral Thesis, Royal Institute of Technology, Department of Aeronautics, Rep 2001-13, pp. 103-116 (1997).
12. Lilley, J and Noble, F. W. "Fatigue Crack Growth in Polyurethane Foam", *Journal of Material Science*, **16**, pp. 1801-1808 (1981).

13. Yau, S. S and Mayer, G. "Fatigue Crack Propagation in Polycarbonate Foam", *Materials Science and Engineering*, **78**, pp. 111-114 (1986).
14. Zenkert, D. "Strength of Sandwich Beams with Mid-Plane Debondings in the Core", *Composite Structures*, **15**, pp. 279-299 (1990).
15. Shenhari, Y., Frostig, Y. and Altus, E. "Stresses and Failure Patterns in Bending of Sandwich beams with Transversely Flexible Cores and Laminated Composite Skins", *compositeStructures*, **35**, pp. 145-152 (1996).
16. Triantfillou, T. C. and Gibson, L. J. "Failure Mode Maps for Foam Core Sandwich Beams", *Material Science and Engineering*, **95**, pp. 37-53 (1987).
17. Hedlund, A ,Olsson K-A, Sorensson ,L."Fatigue Testing of Sandwich Core Material Divinycell H250", ILK Report A-61, Department of Aeronautics, Kungliga Tekniska Hogskolan (1993).
18. Allen, H.G and Shenoi, R.A. "Flexural Fatigue Tests on Sandwich Structures", Second International Conference on Sandwich Constructions, Eds. D. Weissmann-Berman and K-A Olsson, EMAS Ltd, Solihull, UK, pp. 499-517 (1992).
19. Shenoi, R.A, Clark S.D and Allen, H.G. "Fatigue Behaviour of Polymer Composite Sandwich Beams", *Journal of Composite Materials*, **29** (18), (1995).
20. Lestari, W and Qiao, P. "Damage detection of Fiber-reinforced Polymer honeycomb Sandwich beams", *Composite Structures*, **67**(33), pp. 365-373 (2005).